

日本大学理工学部 正員 ○浅川美利

" " 宮森建樹

同大学院 学生貢丸山 誠

まえがき

粘土の圧密諸係数に影響する要素として荷重増加率($\Delta P/P$)、載荷時間、粘土の厚さ、周辺摩擦、温度などがあげられ、それらの影響を確かめたための実験が数多く行なわれてきている。

本報告では、荷重増加率と載荷時間の影響をとりあげ、試験条件による変化の原因を構造的概念を入れて検討してみた。また締め固めた粘土の圧密特性についても若干の検討を加えた。

I. 試験方法

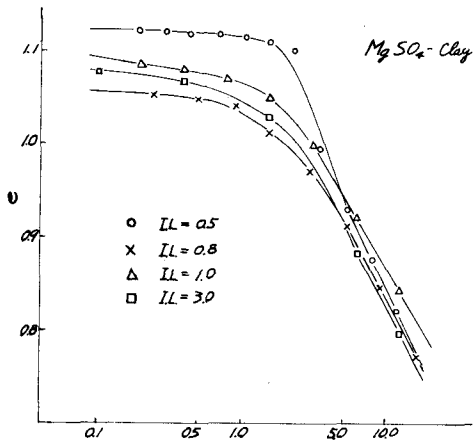
粘土として市販カオリーン($G_s=2.675$, $w_L=50.0\%$, $I_p=20.8$)を用い、粘土の初期構造を変えるために、分散剤として $\text{Na}_4\text{P}_4\text{O}_{13}$ (モル濃度4.95%)、凝集剤として MgSO_4 (モル濃度6.60%)の溶液を加え、液条件の違う2種類の試料を用意した。スラリー状の粘土(LLテスターで5回相当の含水量)を 0.4 kg/cm^2 の等方圧で24h圧密し、直径7cm高さ15cmの再成試料を作り、それを分割して標準圧密試験用供試体($h=2\text{cm}$, $\phi=6\text{cm}$)を作った。試験は 1.6 kg/cm^2 まで段階的に載荷し、その後 $OCR=8$ まで膨張させ圧密膨張による過圧密状態の粘土を初期条件とした。予定した荷重増加率は $\Delta P/P = 0.5, 0.8, 1.0, 3.0$ の4種類で $\Delta P/P$ の影響を調べる場合の載荷時間は24hr一定とした。また載荷時間の影響を調べる場合 $\Delta P/P = 1.0$ とし各段階荷重における時間を $t=5\text{min}, 1\text{hr}, 3\text{hr}, 48\text{hr}, 96\text{hr}$ の5種とした。(一次圧密終了時間: 5~8min)締め固めた粘土の供試体はCBRモールドで各層90回と130回(3層)の2種のエネルギーで保圧固め、同一密度 $\gamma_d = 1.55 \pm 0.01 \text{ g/cm}^3$ のものを乾燥側、湿润側からとり出した。

II. 実験結果と考察

II-1 荷重増加率 $\Delta P/P$ の大きさによる影響

載荷時間一定にして $\Delta P/P$ を $\Delta P/P = 1$ から $\Delta P/P < 1$ あるいは $\Delta P/P > 1$ のよう変えた載荷を行なうと $e-\log P$ 曲線において、 $\Delta P/P$ が小さいときは P_0 が大きく C_0 も大きく表われ、 P_0 を越えると P の増加に伴って $\Delta P/P$ の大きさに関係なく $e-\log P$ 曲線は収束する傾向のあることが知られる。この理由としては、段階荷重が大きいと載荷と同時に粘土の骨組構造が壊れされて、圧密圧力の大部分が過剰間隙水圧の発生に費やされて、その後の圧密過程は、いわゆる Terzaghi 式のものとなり変形量が大きくなる。一方 $\Delta P/P$ の小さい場合、圧密圧力は粘土粒子がその圧力に応じて平衡しようとする粒子間の位置の再調整に大部分が消費され、間隙水圧はほとんど発生せず、発生した間隙水圧も変形より早く減衰し、変形量そのものが小さい。

また圧密係数 C_u にかかる要素のうち α と M_u について考えてみると、 $\Delta P/P$ の大きい場合はたの影響が

図-1 $\Delta P/P$ を変えた $e-\log P$ 関係

が大きく、 $\Delta P/P$ の小さいときは M_n の役割が大きい、といふ説明が加えられている。Yang らは、その機構を土粒子が圧力と界面条件に応じて平衡する位置をどうとする再調整作用、粒子の転位、及び発生する過剰間隙水圧の実験から説明している。²⁾

この現象は、板面と板端の接する部分にセメタインのような時間依存性をもつた接着剤が塗られた場合の模型でシミュライズできる。接着剤が十分硬化していないうちに大きい ΔP が加えられると接合部が壊れかねるが時間が経過してある程度硬化したのにあたり大きい ΔP が加えられても、板の接觸角の変化はあっても壊れかねい。セメタインの硬化過程はちょうど粘土粒子の接近に伴う Van der Waals 力の増加に相当するもので、ある粒子間における力が ΔP 以上の差のあれば粒子の再接近が生ずるだけ、粒子の転位あるいは再配列は生じない。

図-1 は $\Delta P/P = 0.5, 0.8, 1.0, 3.0$ のそれぞれの $e - \log P$ を示すものである。結果は Leonard S の示したものとはほぼ同じ傾向を示している。 M_n 依存性を調べることと、 $M_n - P$ 加压密特性をよく表わすので $M_n - \log P$ 関係をとり、土の初期構造条件別に図-2 と図-3 に示す。 $\Delta P/P$ がたとえば 3 のように大きいと、正規圧密過程に近い傾向を示し、 $\Delta P/P = 0.5$ では過圧密程度の大きい状態の傾向を示している。この傾向は塩縛毛状構造の場合に顕著である。これは $\Delta P/P$ の大きさで M_n 依存性の変わることを意味し、また上述のモデルでの説明を裏づけようかのであると思ふ。どの条件の下の P_0 の約 2 倍の圧力を正規圧密状態に移行する。

図-4 は二次圧密速度に及ぼす $\Delta P/P$ の影響を示す。Leonard らは、二次圧密量は P_0 だけが関係し $\Delta P/P$ は無関係であるとしてあるが、二次圧密速度で整理すると $\Delta P/P$ の影響が見られる。とくに正規圧密状態に移行してから傾向に差が表わされた。 $\Delta P/P = 3$ では P に応じてほぼ直線的に増加する傾向がある。 $\Delta P/P = 0.5$ では正規圧密状態に移行してからほぼ一定の v_{sec} となり、再度増加しはじめの傾向がある。Leonard の

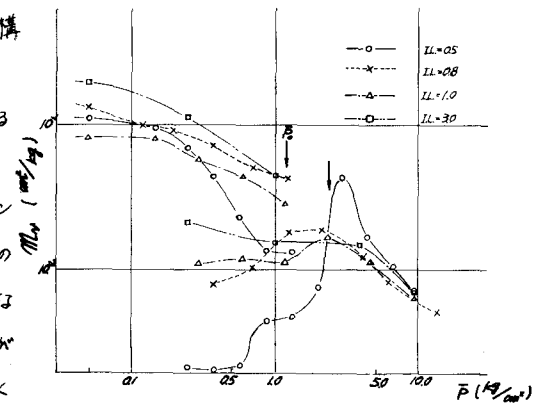


図-2 $\Delta P/P$ をえた $M_n - \log P$ 関係 ($MgSO_4$ の場合)

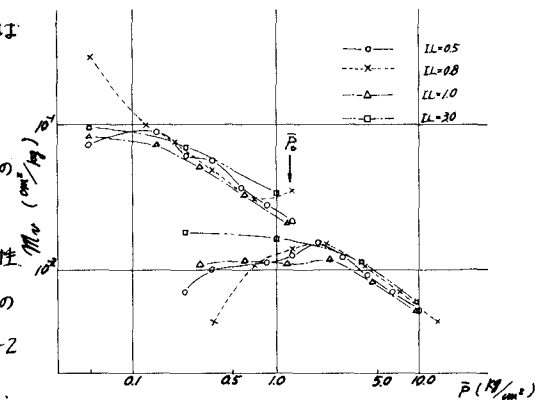


図-3 $\Delta P/P$ をえた $M_n - \log P$ 関係 ($Na_2P_2O_5$ の場合)

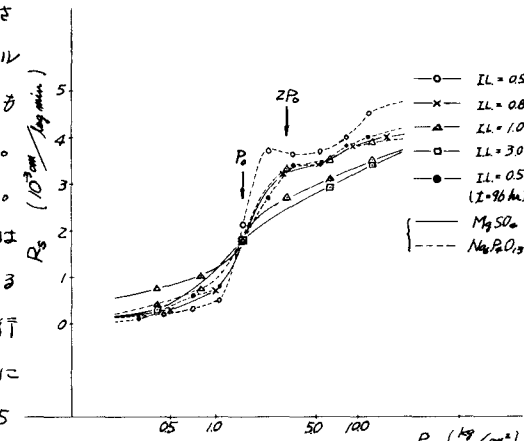


図-4 $\Delta P/P$ をえた二次圧密速度の変化

意見に反して二次圧密量も $\Delta P/P$ によって影響を受ける。表-1は $\Delta P/P = 3.0, 0.8, 0.5$ の先行圧密荷重 P_0 下での二次圧密量 R_s を示すものである。傾向として $\Delta P/P$ の小さくなるほど二次圧密量 R_s は小さくなり、当然のこととして載荷時間が長くなると R_s も増加する。また分散媒集約の影響は二の場合も同じ。

表-1 ($\times 10^3 \text{ cm}$)

$\Delta P/P$	Clay	$MgSO_4$ の場合	$Na_6P_4O_13$ の場合
3.0 ($t=24\text{hr}$)		13.5	17.4
0.8 ($t=24\text{hr}$)		12.6	11.9
0.5 ($t=24\text{hr}$)		2.4	5.0
0.5 ($t=96\text{hr}$)		9.6	9.2

II-2 載荷時間の影響

$\Delta P/P$ を一定にして各種階荷重での載荷時間を変えると $e - \log P$ 曲線の外れ曲線は載荷時間によってあまり変わらないが、圧密降伏応力 P_y の大きさは載荷時間によつてかなり変化するといわれている。小さい荷重増加率で長時間載荷すると、正規粘土でも擬似先行圧密荷重が現われるともいわれている。

図-5は載荷時間を5 min から 96 hr まで種々変えを行なった圧密試験結果であるが、今回の実験では Leonard S の言つてゐるとは判然としない。そこで $M_u - \log P$ を表わしてみると、図-6で見られるように載荷時間の影響が明確となる。時間の長いものは過圧密程度が増す。図-7は $M_{uo}/m_{um} - P/P_0$ 関係を表わしたものである。正規圧密状態に移るには 2 倍の P_0 相当の荷重で、正規圧密状態に入つてから圧密特性は一定する。

II-3 繰り固めた土の圧密特性

繰り固めた土は突固めによってプレストレスされたものであるから、過圧密粘土の特別なケースと考えることができます。繰り固めた時の含水量や繰り固めエネルギーによって、土粒子の配向、粒子間距離、粒子間に働くケルビン力、反発力などに違いが生じ、繰り固めた土の圧縮特性を適確に評価することはできない。また

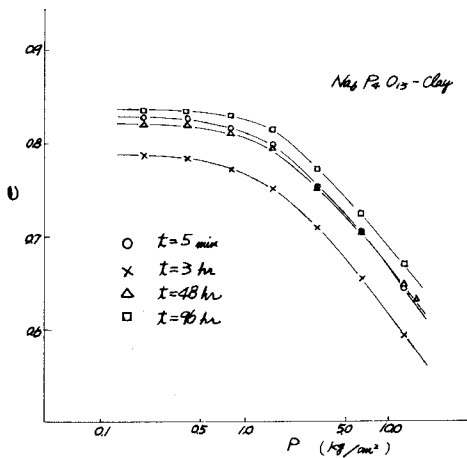


図-5 載荷時間を変えた $e - \log P$ 関係

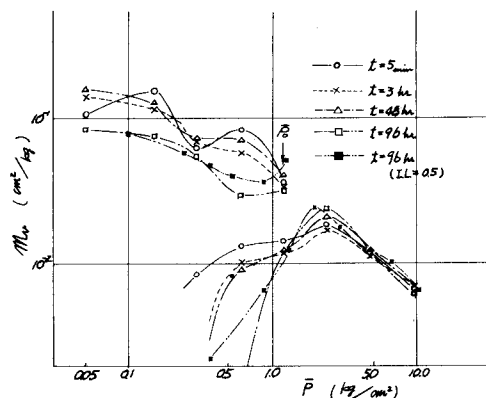


図-6 載荷時間を変えた $M_u - \log P$ 関係
($MgSO_4$ の場合)

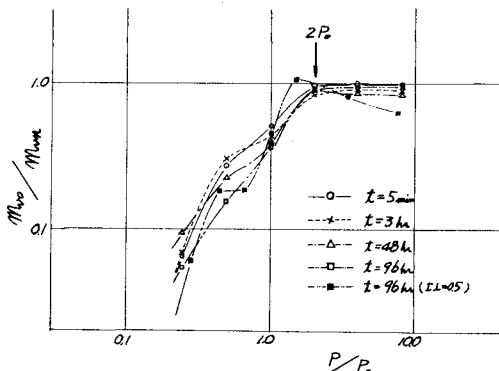


図-7 載荷時間を変えた $M_{uo}/m_{um} - \frac{P}{P_0}$
($Na_6P_4O_13$ の場合)

圧密降伏応力あるいは相当先行圧密荷重は、圧密試験を行ない、 $e - \log P$ から P_y 相当値を見積ることはできずか、それだけでは過圧密状態を評価できない。

そこで一つの試みとして、“一定の粘土に対して $M_{90}/M_{min} - P/P_0$ 関係をとると、その関係における曲線の傾向は過圧密比が特徴づけられる。”といふ中瀬の提案に準じて整理してみると締め固めた土の過圧密の程度あるいは過圧密比が評価されよう。あらかじめ種々の OCR(過圧密比) をえた土の圧密試験結果から $M_{90}/M_{min} - P/P_0$ 関係(OCR ごとに)を整理しておき、同じ土について締め固め後の圧密試験を行ない締め固めた土の $M_{90}/M_{min} - P/P_0$ 曲線を作成し、両方を重ねて

締め固めた土の $M_{90}/M_{min} - P/P_0$ 曲線が OCR のどれの 10 ターゲットに属するか調べてみよとい。図-8 は等方圧密によって再成した粘土を $OCR = 2, 4, 8, \infty$ と 4 種に変え、標準圧密試験結果から $M_{90}/M_{min} - P/P_0$ 関係を整理したものと、締め固めた同じ粘土の圧密試験から得た $M_{90}/M_{min} - P/P_0$ 曲線とを重ねたものである。締め固めた土の乾燥密度、飽和度は一定になるように管理してある。乾燥側で締め固めた土では $OCR = 4 \sim 8$ で締め固めエネルギーの高いものは $OCR = 4$ に接近し、低いものは $OCR = 4 \sim 8$ の間にある。湿潤側のものは $OCR = 8 \sim \infty$ にあり、締め固めエネルギーの高いものは $OCR = 8$ に近く傾向がある。 P_y 相当値は乾燥側で締め固めエネルギーの大きくなるほど大きくなる傾向があり、湿潤側の P_y は乾燥側の P_y に比べて小さく、これをされたものは P_y 相当値はほとんど見られない。

すすむ

(1) 荷重増加率の大きさによって $e - \log P$ の関係における P_y と C_c の値が変わると、Leonard らの結果と同じものを得た。整理の仕方として $M_u - \log P$ 関係を表わす方が特性をよりよく反映する。

$\Delta P/P$ の大きさは二次圧密(二次圧密量、圧密速度など)にも影響する。

(2) 載荷時間の影響は、本実験の $e - \log P$ 関係では明確な差違が認められなかつたが、 $M_u - \log P$ によつて時間の長短の影響が明確に認められた。

(3) 締め固めた土の過圧密状態を評価する方法として、まず $e - \log P$ から P_y 相当値を求め、次に $M_{90}/M_{min} - P/P_0$ から過圧密比を求める事によって締め固めた土の圧密特性をつかめる。

卒業研究として実験に協力してくれた鶴下定治、津山文作両君に感謝する。

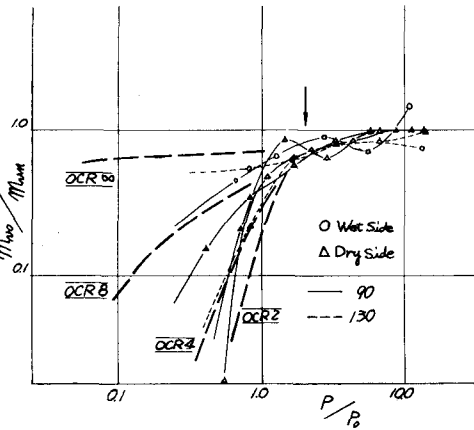


図-8 締め固めた土の過圧密比の変化

参考文献 1)たとえば土質工学会：土壤試験法 PP 317～318

2) Yong & Warkentin :

Introduction to Soil Behavior Mc. Graw Hill PP 221～222

3) Leonards & Girault

: "A Study of the One-dimensional Consolidation Test" Proc. 5th Intern. Conf. Soil Mech. I PP 213 1961

4) 中瀬明男：“過圧密粘土の圧密特性” 第6回土質工学研究発表会 PP 117～120

5) 清川美利：“過圧密粘土の圧密特性” 第7回土質工学研究発表会 PP 129～132